

مقدمه

امروزه رخداد تغییر اقلیم و گرمایش جهانی ذهن همه اندیشمندان و پژوهشگران را به خود جلب کرده است. افزایش طول دوره‌ی رشد، افزایش دما و ذوب شدن یخ‌های قطب شمال و بالا آمدن تراز آبهای کاهش بارش و خشکسالی‌های پیاپی و شدید، افزایش رخداد سیلاب، امواج گرمایی و کاهش امواج سرما به عنوان نشانه‌هایی از تغییر اقلیم، موجب مشکلات اقتصادی و اجتماعی فراوانی در سراسر جهان شده‌اند. در چند سال اخیر شدت تغییرات بیشتر شده است و این باعث شده است که در زمینه‌ی تغییر اقلیم پژوهش‌های متعددی در مناطق مختلف جهان انجام شود. برخی از این پژوهش‌ها به دنبال یافتن دلیل رخداد آن و برخی دیگر از آنها صرفاً و اکاوی^۱ و شناخت تغییر اقلیم پرداخته‌اند. به نظر کاتقرس و همکاران (۱۹۹۹) دلیل تغییرات اقلیمی افزایش مصرف ساخت‌های فسیلی، شهرنشینی، جنگل‌زدایی و بیابان‌زایی است [۹]. ابراهیمی و همکاران (۱۳۸۴) تغییرات دمای را در دشت مشهد به عنوان نمایه‌ی تغییر اقلیم در منطقه بررسی کردند. نتایج پژوهش این پژوهشگران نشان داد که روند افزایشی درجه‌ی حرارت به ویژه برای دمای حداقل، بارزتر است و نتایج آماری نشان داد که در بیشتر ماه‌ها روند دما، افزایشی است و در پایان ایشان به این نتیجه رسیدند که تغییرات دما می‌توان به عنوان نمایه‌ای از تغییر اقلیم به حساب آورد [۱]. قربانی‌زاده خرازی و همکاران (۱۳۸۸) اثر تغییر اقلیم بر توزیع زمانی جریان رواناب ناشی از ذوب برف در حوزه‌ی کارون پرداختند. نتایج پژوهش آنها نشان داد که زمان بیشینه‌ی جریان از بهار به زمستان انتقال خواهد یافت [۱۵]. علیزاده و کمالی (۱۳۸۱) اثرات تغییر اقلیم بر افزایش مصرف آب کشاورزی در دشت مشهد را مطالعه کردند. نتایج این پژوهشگران نشان داد که در صورت افزایش ۲ درجه‌ی سانتی‌گراد دمای هوای نیاز خالص آبیاری با الگو و ترکیب کشت کتونی، ۶ درصد نسبت به وضعیت نرمال افزایش خواهد داشت. بر پایه‌یافته‌های آنها، میزان افزایش نیاز آبیاری به ازای ۴ و ۶ درجه افزایش دما به ترتیب ۱۱ و ۱۷ درصد برآورده شد [۳]. عزیزی و همکاران (۱۳۸۷) به کمک تحلیل‌های آماری چند متغیره تغییر اقلیم در نیمه‌ی غربی کشور را بازیابی کردند. یافته‌های نشان داد که در ایستگاه‌های مختلف مجاورت با شهرهای بزرگ و موقعیت نسبی جغرافیایی در جهت روند تغییرات موثر بوده است. همچنین براساس نتایج به دست

ارزیابی و شناخت تغییر اقلیم در ایران زمین طی دهه‌های اخیر

محمد دارند^۱
تاریخ: تاریخ پذیرش:

چکیده:

هدف این پژوهش شناسایی تغییر اقلیم در ایران زمین است. برای انجام این پژوهش از داده‌های روزانه‌ی بارش، دمای کیمئه (شباه) و بیشینه (روزانه) ۱۴۳۷ ایستگاه همدید، اقلیمی و باران سنجی طی بازه‌ی زمانی ۱۳۴۰/۱۰/۱۱ تا ۱۳۸۳/۱۰/۱۱ کیلومتر^۲ کمک روش درون‌یابی کریگینگ در یاخته‌های ۱۵×۱۵ درون‌یابی شدند و ماتریسی در ابعاد ۱۵۷۰۶×۷۱۸۷ روز ایجاد شد که بر روی سطراها روز و بر روی ستونها یاخته‌ها قرار گرفتند. به کمک ۲۷ نمایه‌ی تغییر اقلیم معرفی شده توسط تیم متخصصین شناسایی تغییر اقلیم و نمایه‌ها^۳ به واکاوی تغییر اقلیم در ایران زمین پرداخته شد. نتایج این پژوهش نشان داد که نمایه‌های فرین^۴ گرم روزهای تابستانی (SU۲۵)، روزهای گرم (TX90p)، شب‌های گرم (TN90p) و شب‌های حاره‌ای (TR20) طی دوره‌ی فرین سرد از جمله روزهای یخ‌بندان (FD)، روزهای یخ (ID)، شب‌های سرد (TN10p) و روزهای سرد (TX10p) منفی است. در حالیکه روند نمایه‌های مورد مطالعه روبه افزایش است. در این پژوهش نشان داد که نمایه‌های فرین سرد از جمله روزهای یخ‌بندان (FD)، روزهای یخ (ID)، شب‌های سرد (TN10p) و روزهای سرد (TX10p) منفی است و روبه کاهش است. امواج گرمایی (WSDI) طولانی تر شده و بر عکس امواج سرد (CSDI) کوتاه‌تر شده‌اند. افزایش بیشتر نرخ دمای شباه نسبت به دمای روزانه منجر به کاهش دامنه‌ی دمای شباه روزی (DTR) شده است. همچنین نتایج این پژوهش نشان داد که بسامد رخداد بارش‌های روبه افزایش است.

کلید واژه‌ها: تغییر اقلیم، نمایه‌های فرین، روند، ایران.

روی وردایی نمایه‌های کندوکاو تغییر اقلیم پهنه‌ی ایران زمین، انجام نشده است. پژوهش‌های انجام شده یا به صورت نقطه‌ای (ایستگاهی) و منطقه‌ای بوده و یا اینکه نمایه‌های کامل سنجش تغییر اقلیم به صورت جامع، بررسی نشده است. این پژوهش بر آن است که با بهره‌گیری از ۲۷ نمایه‌ی پیشنهاد شده تیم متخصصین شناسایی تغییر اقلیم و نمایه‌ها، به سنجش تغییر اقلیم بر روی پهنه‌ی ایران زمین به عنوان یک واحد مطالعاتی پردازد. برای انجام آن از داده‌های شبکه‌ای با قدرت تفکیک مکانی بالا (10×10 کیلومتر) و تفکیک زمانی روزانه، بهره گرفته شده است.

مواد و روش‌ها

برای انجام این پژوهش از داده‌های روزانه بارش، دمای کمینه (شباهن) و بیشینه (روزانه) بر روی ۱۴۳۷ ایستگاه همدید، اقلیمی و بارانسنجی طی بازه‌ی زمانی ۱۹۶۲/۱/۱ تا ۲۰۰۴/۱۲/۳۱ استفاده شد (شکل ۱). در این شکی نیست که پراکنش مقادیر مهم‌ترین سنجه‌های جوی، دما و بارش، بر روی ایران زمین هم‌اندازه و یکنواخت نیست و مناطق مختلف، ممکن است رفتار یکسانی به گرمایش جهانی و تغییر اقلیم نداشته باشند. همانطور که یافته‌های مسعودیان و دارند (۱۳۹۲) و دارند و همکاران (۲۰۱۵) نشان می‌دهد نزخ وردایی سنجه‌های جوی در قالب نمایه‌های فرین دما و بارش در مناطق مختلف (به لحاظ ایران زمین هم‌اندازه و یکسان نیست. در برخی مناطق (به لحاظ گستره محدود هستند) حتی نوع روند نیز همانگانگ با مناطق دیگر نیست [۱۰ و ۲۰] با وجود این هنگامی صحبت از یک حوضه یا پهنه می‌شود، پرسنل‌های بسیار زیادی در ذهن پژوهشگر ایجاد می‌شود که برای پاسخ به آنها نیازمند آئیم که حوضه یا پهنه مورد نظر را در قالب واحد مورد واکاوی قرار دهیم. برای نمونه در گزارشاتی که توسط هیأت بین دول تغییر اقلیم تهیه می‌شود، هنگامی در ارتباط با وردایی نمایه‌های فرین اقلیمی بحث می‌شود، کل کره‌ی زمین را جدا از تقاضاتی مکانی، به عنوان یک واحد مطالعاتی در نظر می‌گیرند. در گزارش چهارم این هیأت آمده است که طی ۱۰۰ سال اخیر میانگین کره‌ی زمین حدود ۰/۷۴ درجه‌ی سانتی گراد افزایش یافته است [۱۷]. در مدل‌های اقلیم جهانی (GCMs) نیز چنین رویکردی نسبت به پهنه نگاشته می‌شود. بر پایه‌ی مدل‌سازی‌ها طی دوره‌ی ۱۹۹۰–۲۱۰۰، میانگین دمای کره‌ی زمین ۱/۱ تا ۰/۷۴ درجه سانتی گراد افزایش خواهد یافت [۸]. اما ذکر این نکته لازم است که میانگین‌گیری ساده از داده‌های مکانی هنگامی مجاز است که داده‌ها از یک توزیع یکنواختی بر روی پهنه مورد نظر برخوردار باشند. در صورتی که داده‌ها پراکنش یکنواختی بر روی مکان نداشته باشند، محاسبه‌ی میانگین برای پهنه دقیق تغواهد بود و میانگین به سمت مناطقی (مکان) که داده‌ها تراکم پیشتری دارند، ارباب و میل پیدا خواهد کرد [۲]. در مطالعه‌ی فریچ و همکاران (۲۰۰۲) مشکلاتی که در ارتباط با بکارگیری داده‌های ایستگاهی با توزیع

آمده داده‌های رطوبت و بارش غالباً از روند تغییرات معنی‌داری برخوردار نیستند [۵]. عزیزی و روشی (۱۳۸۷) به مطالعه‌ی تغییر اقلیم در سواحل جنوبی دریای خزر به روش من-کنداش پرداختند. نتایج یانگر این است که در اغلب ایستگاه‌ها، دمای حداقل، روند مثبت و دمای حداکثر، روند منفی نشان می‌دهد و از دامنه‌ی نوسان دما در طول دوره کاسته شده است و درصد تغییر در فصل زمستان و تابستان نسبت به بهار و پاییز بیشتر است [۶]. خلیلی اقدم و سلطانی (۱۳۸۸) تغییر اقلیم در ارومیه را طی ۵۰ سال گذشته در کردند. یافته‌ها نشان داد که میانگین بارش طی ۵۰ سال گذشته در ارومیه تغییر معناداری نداشته است. گرمایش جهانی و تغییر اقلیم جهانی در این منطقه سبب افزایش دمای منطقه شده است [۱۸]. بابائیان و همکاران (۱۳۸۸) به کمک ریزمقیاس نمایی داده‌های مدل گردش عمومی جر G_ECHO طی دوره‌ی ۲۰۳۹–۲۰۱۰ میلادی، به ارزیابی تغییر اقلیم ایران پرداختند. نتایج نشان داد که طی دوره‌ی ۲۰۱۰ تا ۲۰۳۹، میزان بارش بر روی ایران زمین، ۹ درصد کاهش خواهد یافت، آستانه‌ی بارش‌های سنگین و خیلی سنگین افزایش به ترتیب ۱۳ و ۳۹ درصد افزایش می‌یابند و میانگین سالانه دما حدود ۰/۵ درجه‌ی سانتی گراد افزایش خواهد داشت. ماههای سرد سال به نسبت سایر ماههای دیگر سال بیشترین افزایش ماهانه دما را تجربه خواهند کرد [۷]. پایین و همکاران (۲۰۰۲) به کمک مدل RCM به بررسی تغییر اقلیم در حوضه‌ی رودخانه‌ی کلمبیا پرداختند. دوره‌ی مورد مطالعه‌ی آنها ۲۰۴۰ تا ۲۰۶۰ بود. یافته‌های آنها نشان داد که تغییر اقلیم منجر به افزایش ۱/۲ درجه‌ی سانتی گراد دمای هوا خواهد شد و بارش ۳ درصد کاهش می‌یابد. همچنین برای حوضه‌ی یاد شده افزایش رواناب در زمستان و کاهش آن در سایر فصل‌ها را پیش‌بینی کردند [۲۱]. گیون و همکاران (۲۰۰۵) اثرات تغییر اقلیم را بر افزایش تراز آب دریاچه مالارین طی سال‌های ۲۰۷۰ تا ۲۱۰۰ مطالعه کردند. نتایج نشان داد که در اثر تغییر اقلیم و گرمایش جهانی، تراز آب دریاچه تا ۵۰ سانتی‌متر برای دوره‌ی آتی افزایش خواهد یافت [۱۶]. ردریگر دیاز و همکاران (۲۰۰۷) آثار تغییر اقلیم بر نیاز آب آبیاری حوضه رودخانه‌ی گیوپلاکیو ویراسپانیا و اکاوی کردند. نتایج حاصل از مطالعه آنها یانگر افزایش خشکی و نیاز به آب برای آبیاری است. مدل‌سازی نیاز آبیاری نشان داد که نیاز آبیاری در دوره‌ی زمانی ۲۰۷۰–۲۰۴۱ بسته به مکان و الگوی کشت تقریباً ۱۵ تا ۲۰ درصد افزایش خواهد یافت [۲۲]. فریس و همکاران (۲۰۰۹) نقش تغییر اقلیم بر محصولات کشاورزی مدیترانه را واکاوی کردند. یافته‌ها یانگر کاهش عملکرد گندم برای قرن آتی است، بطریکه اثرات منفی آن از عرضه‌های جغرافیایی پایین شروع شده و با افزایش عرض جغرافیایی نقش تغییر اقلیم بر عملکرد گندم افزایش می‌یابد [۱۳].

با مروری بر منابع و پژوهش‌های انجام شده بر روی تغییر اقلیم در ایران زمین می‌توان گفت که تاکنون پژوهشی کامل و جامع بر

سردترین دهک را برای کمینه و بیشینه دما بر می گزینند تا بتوان در مورد اینکه کدامیک از فرین ها در حال تغییر هستند، داوری کرد. نمایه های بارش در این گروه، میزان کاهش بارش صدک های بالای ۹۵ درصد (R_{95p}) و صدک ۹۹ آم (R_{99p}) و رخدادهای بارش فرین در یک سال را نیز به ما نشان می دهند، ب) نمایه های مطلق: مقادیر حداقل یا حد اکثر مطلق را طی یک سال یا یک فصل نشان می دهند و شامل بیشترین دمای بیشینه روزانه (TX_n), بیشترین دمای کمینه روزانه (TN_n), کمترین دمای بیشینه شبانه (TX_n), کمترین دمای کمینه شبانه (TN_n), بیشترین مقدار بارش یک روزه (RX_{1day}) و بیشترین مقدار بارش ۵ روزه (RX_{5day}) هستند، ج) نمایه های آستانه ای: نمایه هایی کمتر یا بیشتر باشد، را اندازه گیری می کنند بارش یا دما از یک آستانه کمتر یا بیشتر باشد، را اندازه گیری می کنند و شامل روزهای همراه با یخبندان در سال (FD)، روزهای یخی در سال (ID)، روزهای تابستانی در سال (SU)، شب های حاره ای در سال (TR)، تعداد روزهای بارشی سنگین بیش از ۱۰ میلی متر (R₁₀) و تعداد روزهای بارشی ابرسنگین بیش از ۲۰ میلی متر (R₂₀). این نمایه ها برای هر اقلیمی لزوماً مناسب نیستند چرا که آستانه های که در نظر گرفته شده اند، در همه جا کاربست پذیر نیستند. با وجود این، مطالعات پیشین (فوج و همکاران، ۲۰۰۲، کیکتیو و همکاران، ۲۰۰۳، به نقل از الکساندر و همکاران) نشان دادند که نمایه های دما نظیر روزهای یخبندان (FD)، تعداد روزهایی که دمای کمینه کمتر از صفر درجه سانتی گراد است، در عرض های میانه، در نیمی دوم قرن پیشتر نتیجه های منطقی نشان می دهد. علاوه بر این، تغییرات این نمایه ها می تواند اثر قابل ملاحظه ای بر شاخص های ویژه اجتماعی یا اقتصادی داشته باشد) نمایه های دوره ای: این نمایه ها دوره های گرم، سرد، مرطوب و خشکی زیاد از حد در طول فصل رشد یا دوره های عادی را می سنجند و شامل نمایه دامن دوره ای سرد (CSDI)، نمایه دامن دوره گرم (WSDI)، طول فصل رشد (GSL)، روزهای پایی خشک (CDD) و روزهای پایی مرطوب (CWD) هستند و پ) نمایه های دیگر که در هیچ یک از گروه های بالا نمی گنجند اما تغییرات آنها می توانند اثرات اجتماعی عمده ای داشته باشند. کل بارش سالانه (PRCPTOT)، دامنی دمای روزانه (DTR)، نمایه ای آسان شدت روزانه (SDII)، دامنی فرین دما (ETR) و توزیع سالانه از روزهای بسیار مرطوب (R_{95pT}) جز این گروه هستند.

به کمک رگرسیون خطی ساده روند بسامد نمایه ها و شب مربوط به آنها در سطح اطمینان ۹۵ درصد محاسبه شد. بنابراین هر کدام از نمایه های بارش و دما به عنوان متغیر وابسته (y) و متغیر مستقل زمان (t) سال، در نظر گرفته شد (رابطه ۱).

$$y = a + bt \quad (1)$$

که در آن a عرض از مبدأ است. برای بدست آوردن شب خط (b) و عرض از مبدأ از رابطه ۲ و ۳ استفاده شد.

یکنواخت در ارزیابی ها و شناخت تغییر اقلیم آمده است [۱۴]. همانطور که از شکل ۱ پیداست ایستگاه های هواشناسی از توزیع یکسانی بر روی پهنه ای ایران زمین برخوردار نیستند. به کمک روش زمین آمار کریگینگ، داده های روزانه بر روی شبکه های ۱۵×۱۵ کیلومتر درون یابی شدند (شکل ۲). برای این تفکیک مکانی یاد شده ۷۱۸۷ یاخته های مکانی در درون مرز سیاسی ایران زمین قرار می گیرد. پایگاه داده ای در ابعاد ۱۵۷۰×۷۱۸۷ ایجاد شد که بر روی سطراها روز و بر روی ستون ها یاخته ها (شبکه ها) قرار گرفتند. برای هر سه سنجه ۱ مورد نظر یک پایگاه داده ای مجزا ایجاد شد. سپس میانگین ۷۱۸۷ یاخته برای هر روز محاسبه شد تا پهنه ای ایران زمین به عنوان یک واحد مطالعاتی مورد واکاوی قرار گیرد. در نهایت یک پایگاه داده ای در ابعاد ۱۵۷۰×۳ ایجاد شد که بر روی ستون ها میانگین بارش، دمای کمینه و بیشینه روزانه قرار گرفت. به کمک داده های روزانه، نمایه ها در هر یک از سال های مختلف دوره ای آماری مورد واکاوی (۱۹۶۲-۲۰۰۴) محاسبه شدند برای Warm Spell Duration (Index) تعداد روزهای از سال که دست کم ۶ روز پیاپی دمای روزانه بیشتر از صدک ۹۰ آم دوره میباشد (۱۹۷۱-۲۰۰۰). باشد را به کمک داده های روزانه بر روی هر یاخته برای هر سال جداگانه شمارش شد. نمایه های متفاوتی توسط افراد و پژوهشکارهای جهت کندوکاو تغییر اقلیم در جهان معرفی و ارائه شده است. هر کدام از نمایه های معرفی شده معایب و مزایه های خاص خود را دارند. بطرور کلی ویژگی های بسیار مهمی که نمایه های واکاوی تغییر اقلیم باید داشته باشند این است که (الف) با هم بسیار همبسته نباشند و هر کدام اطلاعات مستقلی را از وضعیت تغییر اقلیم بیان کنند، ب) نمایه ها علاوه بر اینکه قابلیت مقایسه نقاط مختلف جهان با هم را داشته باشند، باید بر پایه شرایط منطقه ای نیز بوده و امکان مقایسه مناطق مختلف را داشته باشند و ج) علاوه بر موارد ذکر شده، نمایه های جدید باید قابلیت سنجش تغییر اقلیم را در مقیاس زمانی و مکانی داشته باشند. در این پژوهش جهت شناخت و ارزیابی تغییر اقلیم از ۲۷ نمایه فرین دما و بارش پیشنهاد شده توسط تیم متخصصین شناسایی تغییر اقلیم و نمایه های بهره گرفته شد. در این نمایه های پیشنهاد شده تمام ویژگی های که لازم است نمایه های تغییر اقلیم داشته باشند، دیده می شود و اغلب جواب نهایی و ویژگی های فرین دما و بارش را از جمله بسامد رخداد، شدت و دوام را واکاوی می کنند. از بین ۲۷ نمایه پیشنهادی یا شده، ۱۶ نمایه مربوط به کندوکاو فرین های دما (جدول ۱) و ۱۱ نمایه مربوط به فرین های بارش است (جدول ۲). این نمایه ها را می توان در پنج گروه دسته بندی کرد [۲]: (الف) نمایه هایی صدق کی: این نمایه های شامل رخداد شب های سرد (TN_{10p}), شب های گرم (TN_{90p}), روزهای سرد (TX_{10p}), روزهای گرم (RX_{90p}), روزهای بسیار مرطوب (R_{95p}) و روزهای بسیار مرطوب (R_{99p}) هستند. نمایه های دما که بر پایه ای صدک هستند، گرم ترین و

1- Parameter

تست^۲، تحلیل بیزی^۳، من وینتی^۴، مجموع رتبه‌ی ویلکاکسون^۵، پی‌تیت^۶، من کندا^۷، لیگ^۸، آزمون همگنی نرمال استاندارد^۹، رویکرد رگرسیون مبنای^{۱۰}، انحرافات تجمعی^{۱۱}، اورلیمانس^{۱۲}، نسبت نشانه به نرقد^{۱۳}، تحلیل مداخله‌ای^{۱۴}، مونت کارلو زنجیره مارکوف^{۱۵}، روش لانزاته^{۱۶} و استارس^{۱۷} اشاره کرد.

دسته‌ی دوم روش‌های هستند که تغییر در پراش(واریانس) را بررسی می‌کنند. از این دسته می‌توان به آزمون داونتنرن-کاتز^{۱۸} و روش رو دیونز^{۱۹} اشاره کرد.

دسته‌ی سوم روش‌های هستند که تغییر در ساختار فراوانی و توزیع داده‌ها را بررسی می‌کنند. می‌توان از این گروه به آزمون نیکیفروف^{۲۰} اشاره کرد.

دسته‌ی چهارم روش‌های هستند که تغییر در سیستم را واکاوی می‌کنند. تحلیل مولفه‌های مبنای^{۲۱}، میانگین انحرافات استاندارد^{۲۲}، روش اطلاعات فیشر^{۲۳} و روش خرد همبستگی برداری^{۲۴} را می‌توان جزو این دسته و گروه قرار داد.

تغییر در میانگین رایج ترین روش شناسایی نقاط تغییر در سری‌های زمانی است. همانطور که یاد شد برای این دسته از روش‌ها، آزمون‌های متفاوتی ارائه شده است. در این پژوهش از رویکرد رگرسیون مبنای برای سری‌های زمانی که به لحاظ بصری دارای دو فاز و دوره‌ی مختلف بودند، استفاده شد. این روش توسط سولو در سال ۱۹۸۷ برای اولین بار ارائه شد [۲۴] سپس توسط استرلینگ و پترسون در سال ۱۹۹۵، ایلسنر و همکاران [۲۰۰۰] و لوئند و ریویس (۲۰۰۲) اصلاح شد [۱۱، ۱۲ و ۱۹]. اگر فرض بر این باشد که سری را به کمک روش یاد شده به دو بخش تقسیم کنیم، می‌توان گفت که:

$$y_t = \begin{cases} \alpha_1 + b_1 t + \varepsilon_t, & 1 \leq t \leq c \\ \alpha_2 + b_2 t + \varepsilon_t, & c \leq t \leq n \end{cases} \quad (8)$$

2- t-test

3- Bayesian analysis

4- Mann-Whitney U-test

5- Wilcoxon rank sum

6- Pettitt test

7- MannKendall test

8- Lepage test

9- Standard normal homogeneity test

10- Regressionbased approach

11- Cumulative deviation test

12- Oerlemans method

13- Signal-tonoise ratio

14- Intervention analysis

15- Markov chain Monte Carlo

16- Lanzante method

17- STARS

18- DowntonKatz test

19- Rodionov method

20- Nikiforov method

21- Principal component analysis

22- Average standard deviates

23- Fisher information

24- Vector autoregressive method

$$b = \frac{\sum_{i=1}^n (t_i - \bar{t})(y_i - \bar{y})}{\sum_{i=1}^n (t_i - \bar{t})^2} \quad (2)$$

$$a = \bar{y} - b\bar{t} \quad (3)$$

میزان ضریب تعیین^(۱) ارتباط بین نمایه‌ها با زمان(سال) به کمک رابطه‌ی ۴ برآورد گردید.

$$1 - r^2 = \frac{\sum_{i=1}^n (y_i - \hat{y})^2}{\sum_{i=1}^n (y_i - \bar{y})^2} \quad (4)$$

که در آن λ میزان نمایه‌ی پیش‌بینی شده به کمک رابطه‌ی ۱ است برای آنکه به لحاظ آماری، معناداری مقادیر شیب در سطح اطمینان ۹۵ درصد آزمون شود از رابطه‌ی ۵ بهره گرفته شد.

$$SE(b) = \sqrt{\frac{MSD}{\sum_{i=1}^n (t_i - \bar{t})^2}} \quad (5)$$

در رابطه‌ی ۵ MSD پراش مانده‌های رگرسیون است که به کمک رابطه‌ی ۶ محاسبه می‌شود.

$$MSD = \frac{\sum_{i=1}^n (y_i - \bar{y})^2}{n - 2} \quad (6)$$

مقدار تی مشاهده شده t_{ob} به کمک رابطه‌ی ۷ برآورد گردید.

$$t_{ob} = \frac{b}{SE(b)} \quad (7)$$

قدر مطلق t_{ob} با $t_{t_{ob}, n-2}$ از جدول مبروطه مقایسه می‌شود. در صورتی که قدر مطلق t_{ob} از $t_{t_{ob}, n-2}$ جدول با درجه آزادی $n-2$ و سطح معناداری α بزرگتر باشد، شواهد کافی برای پذیرش این فرض که میزان شیب (b) برابر صفر است، وجود نخواهد داشت [۴]. تغییر، جهش و ناهمگنی در سری‌های زمانی اقلیمی، ویژگی است که در هر نقطه و مکانی از کره‌ی زمین ممکن است مشاهده شوند. این گونه تغییرات ممکن است دلایل طبیعی یا غیرطبیعی داشته باشند. جایه‌جایی مکانی ایستگاه‌ها، تغییر در ادوات و تجهیزات اندازه‌گیری ثبت سنجه‌های اقلیمی، رشد شهرها و شهرنشینی را می‌توان از گونه‌ی عوامل غیرطبیعی و مصنوعی برشمود. امروزه گرمایش جهانی و رخداد تغییر اقلیم به یکی از عوامل طبیعی مهم و اساسی وردایی سری‌های زمانی سنجه‌های اقلیمی تبدیل شده است. برای شناخت نقاط تغییر^۱ روش‌های متفاوتی ارائه شده است. بطرور کلی می‌توان این گونه روش‌ها را به چهار گروه تقسیم کرد [۲۲]. (الف) روش‌های که تغییر در میانگین را شناسایی می‌کنند که می‌توان به آزمون تی

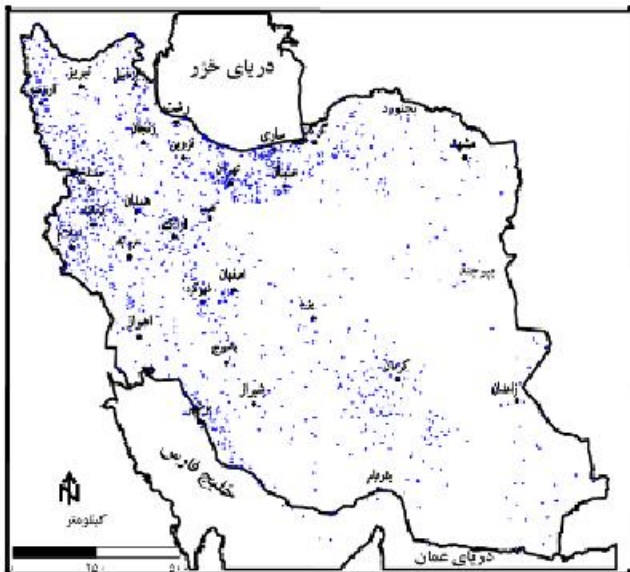
کوچک باشد. در رابطه‌ی ۱۵ مجموع مربعات خطاهای (SSE_{full}) که از آن تحت عنوان Full model یاد می‌کنند، از رابطه‌ی ۱۶ بدست می‌آید.

$$SSE_{full} = \sum_{i=1}^c (y_i - a_1 - b_1 t_i)^2 + \sum_{i=c+1}^n (y_i - a_2 - b_2 t_i)^2 \quad (16)$$

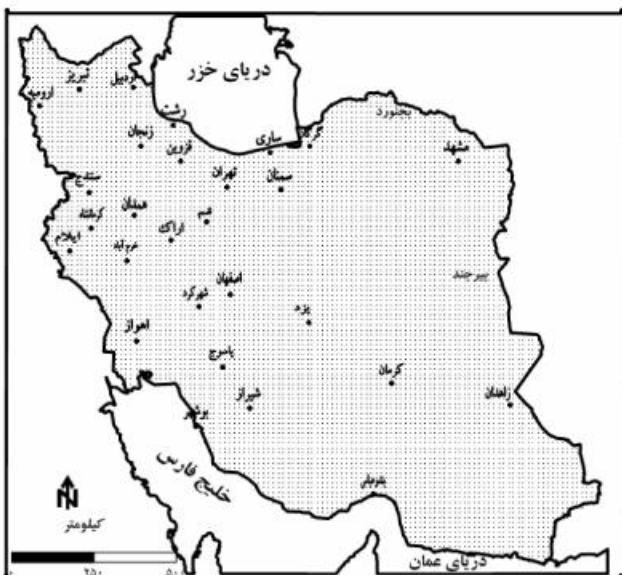
همچنین مجموع مربعات خطاهای (SSE_{Red}) نیز با عنوان Reduced model به کمک رابطه‌ی (۱۷) بدست می‌آید.

$$SSE_{Red} = \sum_{i=1}^n (y_i - a_{Red} - b_{Red} t_i)^2 \quad (17)$$

که $b_1 = b_{Red}$ و $a_1 = a_{Red}$ در شرایطی که $b_2 = b_{Red}$ و $a_2 = a_{Red}$ برقرار باشد، حساب می‌شوند.



شکل ۱ موقعیت ایستگاه‌های همدید، اقلیمی و بارانسنجی



شکل ۲ یاخته‌های درون یابی شده‌ی 15×15 کیلومتر بر روی ایران

که در آن c مقدار نقطه‌ای حاصل از مدل رگرسیونی است که از آن با نام مانده‌ها^۱ یاد می‌کنند. رابطه‌ی ۸ یک رگرسیون ساده کلامیک است که برای دو فاز مختلف در سری زمانی برای شناخت نقطه‌ی تغییر بررسیله‌ی مقایسه‌ی عرض از مبدأ دو سری ($a_1 \neq a_2$) و یا شبیه خط دو سری ($b_1 \neq b_2$) بکار گرفته می‌شود. عبارت C یانگر زمانی است که اگر $b_1 \neq b_2$ یا $a_1 \neq a_2$ برقرار باشد، نقطه تغییر اتفاق c افتاد. نقطه‌ی تغییر در یکی از نقاط سری از $\{1, \dots, n-1\}$ اتفاق می‌افتد. پارامترهای رابطه‌ی ۸ به کمک روابط زیر حساب می‌شوند.

$$a_1 = \frac{\sum_{i=1}^c (t_i - \bar{t}_1)(y_i - \bar{y}_1)}{\sum_{i=1}^c (t_i - \bar{t}_1)^2} \quad (9)$$

$$a_2 = \frac{\sum_{i=c+1}^n (t_i - \bar{t}_2)(y_i - \bar{y}_2)}{\sum_{i=c+1}^n (t_i - \bar{t}_2)^2} \quad (10)$$

که در آن $\bar{y}_1 = (n-c)^{-1} \sum_{i=c+1}^n y_i$ و $\bar{y}_2 = c^{-1} \sum_{i=1}^c y_i$ به ترتیب میانگین سری‌های زمانی قبل و بعد از نقطه‌ی تغییر C هستند. میانگین‌های زمان مشاهدات در قبل و بعد از C به ترتیب برابر با $\bar{t}_1 = (c+1)/2$ و $\bar{t}_2 = (n+c+1)/2$ می‌باشد. تخمین حداقل مربعات پارامتر عرض از مبدأ b_1 و b_2 به کمک روابط زیر بدست می‌آید.

$$a_1 = \bar{y}_1 - b_1 \bar{t}_1 \quad (11)$$

$$a_2 = \bar{y}_2 - b_2 \bar{t}_2 \quad (12)$$

مخرج کسر در رابطه‌ی ۹ و ۱۰ از طریق زیر حساب می‌شود.

$$\sum_{i=1}^c (t_i - \bar{t}_1)^2 = \frac{c(c+1)(c-1)}{12} \quad (13)$$

$$\sum_{i=c+1}^n (t_i - \bar{t}_2)^2 = \frac{(n-c)(n-c+1)(n-c-1)}{12} \quad (14)$$

برای آزمون فرض نیز نقطه‌ی تغییر در مقابل وجود یک نقطه‌ی تغییر، باید یک آزمون آماری خوب طراحی کرد. فرض صفر آماری که مورد آزمون قرار می‌گیرد این است که پارامترهای رگرسیون طی دو فاز قبل و بعد از نقطه‌ی تغییر یکسان هستند.

در چنین شرایطی $a_1 - a_2$ و $b_1 - b_2$ باید به لحاظ آماری برای هر کدام از حالت‌های $\{1, \dots, n\}$ نزدیک به صفر باشند. از آماره‌ی F رگرسیون برای آزمون فرض یاد شده استفاده می‌شود.

$$F_c = \frac{(SSE_{Red} - SSE_{full})/2}{SSE_{full}/(n-4)} \quad (15)$$

اگر هیچ گونه نقطه‌ی تغییری در سری زمانی وجود نداشته باشد، حاصل رابطه‌ی ۱۵ برای هر کدام از حالت‌های $\{1, \dots, n\}$ باید بسیار

جدول ۱: نمایه‌های فرین دما (برگرفته از وبگاه تیم متخصصین شناسایی تغییر اقلیم و نمایه‌ها)
<http://www.clivar.org/panels-and-working-groups/etcddi/etcddi.php>

نمایه	تعریف	یکا
FD	روزهای بخندان (Frost Days): تعداد روزهایی از سال که دمای کمینه‌ی روزانه کوچکتر از صفر درجه سانتی‌گراد باشد	روز
SU25	روزهای تابستانی (Summer Days): تعداد روزهایی از سال که دمای بیشینه‌ی روزانه بزرگتر از ۲۵ درجه سانتی‌گراد باشد	روز
ID	روزهای بخنی (Ice Days): تعداد روزهایی از سال که دمای بیشینه‌ی روزانه کوچکتر از صفر درجه سانتی‌گراد باشد	روز
TR20	شب‌های حاره‌ای (Tropical Nights): تعداد روزهایی از سال که دمای کمینه‌ی بیشتر از ۲۰ درجه سانتی‌گراد باشد	روز
GSL	طول فصل رشد در سال (Growing Season Length): (اول ژانویه تا ۳۱ دسامبر در نیمکره شمالی؛ اول ژوئیه تا ۳۰ ژوئن در نیمکره جنوی): تعداد روزهایی از سال که بین اولین رخدادی که دست کم ۶ روز پیاپی میانگین دمای روزانه بیشتر از ۵ درجه سانتی‌گراد و اولین رخدادی که دست کم ۶ روز پیاپی بعد از اول ژوئیه (اول ژانویه در نیمکره جنوی) میانگین دمای روزانه کوچکتر از ۵ درجه سانتی‌گراد باشد را طول فصل رشدگویند	روز
TXx	بزرگترین دمای بیشینه (Max Tmax): میزان حداقل دمای بیشینه‌ی روزانه در ماه	سانتی‌گراد
TXn	کوچکترین دمای بیشینه (Min Tmax): میزان حداقل دمای کمینه‌ی روزانه در ماه	سانتی‌گراد
TNx	بزرگترین دمای کمینه (Max Tmin): میزان حداقل دمای کمینه‌ی در ماه	سانتی‌گراد
TNn	کوچکترین دمای کمینه (Min Tmin): میزان حداقل دمای کمینه‌ی در ماه	سانتی‌گراد
TN10p	شب‌های سرد (Cold Nights): درصدی از روزهای که دمای شباهنگ کوچکتر از صدک ۱۰ درجه میانا (۱۹۷۱-۲۰۰۰) باشد	روز
TX10p	روزهای سرد (Cold Days): درصدی از روزهای که دمای روزانه کوچکتر از صدک ۱۰ درجه میانا (۱۹۷۱-۲۰۰۰) باشد	روز
TN90p	شب‌های گرم (Warm Nights): درصدی از روزهای که دمای شباهنگ بزرگتر از صدک ۹۰ درجه میانا (۱۹۷۱-۲۰۰۰) باشد	روز
TX90p	روزهای گرم (Warm Days): درصدی از روزهای که دمای روزانه بزرگتر از صدک ۹۰ درجه میانا (۱۹۷۱-۲۰۰۰) باشد	روز
*WSDI	موج گرما (Warm Spell Duration Index): تعداد روزهایی از سال که حداقل ۶ روز پیاپی دمای روزانه بیشتر از صدک ۹۰ درجه میانا (۱۹۷۱-۲۰۰۰) باشد	روز
*CSDI	موج سرما (Cold Spell Duration Index): تعداد روزهایی از سال که حداقل ۶ روز متولی دمای شباهنگ کوچکتر از صدک ۱۰ درجه میانا (۱۹۷۱-۲۰۰۰) باشد	روز
DTR	دامنه‌ی دمای روزانه (Diurnal Temperature Range): تفاوت میانگین ماهانه‌ی دمای روزانه و شباهنگ. فرض کنید که $T_{x_{ij}}$ به ترتیب دمای بیشینه‌ی روزانه و دمای کمینه‌ی روزانه در روز z_{ij} در دوره‌ی z_{ij} است. اگر I بیانگر تعداد روزهای دوره‌ی z_{ij} باشد، بنابراین دامنه‌ی دمای روزانه از رابطه‌ی زیر بدست می‌آید	سانتی‌گراد

یافته‌های پژوهش

نمایه‌های فرین دما روند وردایی نمایه‌های فرین دما طی بازه‌ی زمانی مورد مطالعه در شکل‌های ۳ و ۴ آمد. نرخ و شیب تغییرات، انحراف معیار مقدار شیب همراه با P-Value در جدول ۳ آمد. میانگین سالانه‌ی تعداد روزهای بخندان (FD) ایران زمین حدود ۳۲ روز در سال است. همانطور که قابل ملاحظه است روند بسامد رخداد این نمایه روبه کاهش است و بریزه از سال ۱۹۹۲ و ۱۹۹۳ به بعد نرخ کاهشی آن شدت زیادی به خود گرفته است. در سطح اطمینان ۹۹ درصد شیب نزولی این نمایه معنادار است و بطور کلی نرخ کاهشی آن حدود $5/3$ روز به ازای هر دهه است و میزان انحراف معیار شیب روند حدود $1/8$ روز به ازای هر ده سال است. به بیانی دیگر نرخ کاهشی تعداد روزهای بخندان طی هر دهه $5/3 \pm 1/8$ روز است (جدول ۳). تعداد روزهای تابستانی (SU25) روند مثبت و معناداری را طی دوره‌ی مورد مطالعه نشان می‌دهند.

$$a_{\text{Red}} = n^{-1} \sum_{i=1}^n (y_i - b_{\text{Red}} t_i) \quad (18)$$

$$b_{\text{Red}} = 12 \frac{\sum_{i=1}^n (y_i - \bar{y}) t_i}{n(n+1)(n-1)} \quad (19)$$

برای هر کدام از حالت‌های نقطه‌ی تغییر $\{c, \dots, n\}$ مقدار F حساب می‌شود. بزرگترین مقدار F با عنوان F_{\max} با جدول مقایسه می‌شود.

$$F_{\max} = \max_{1 \leq c \leq n} F_c \quad (20)$$

در صورتی که F_{\max} محاسبه شده بزرگتر از F جدول با دو پارامتر درجه‌ی آزادی صورت و درجه‌ی آزادی مخرج باشد، فرض صفر تأیید نمی‌شود.

جدول ۲ نمایه‌های بارش فرین(برگرفته از وبگاه تیم متخصصین شناسایی تغییر اقلیم و نمایه‌ها)
<http://www.clivar.org/panels-and-working-groups/etcedi/etcedi.php>

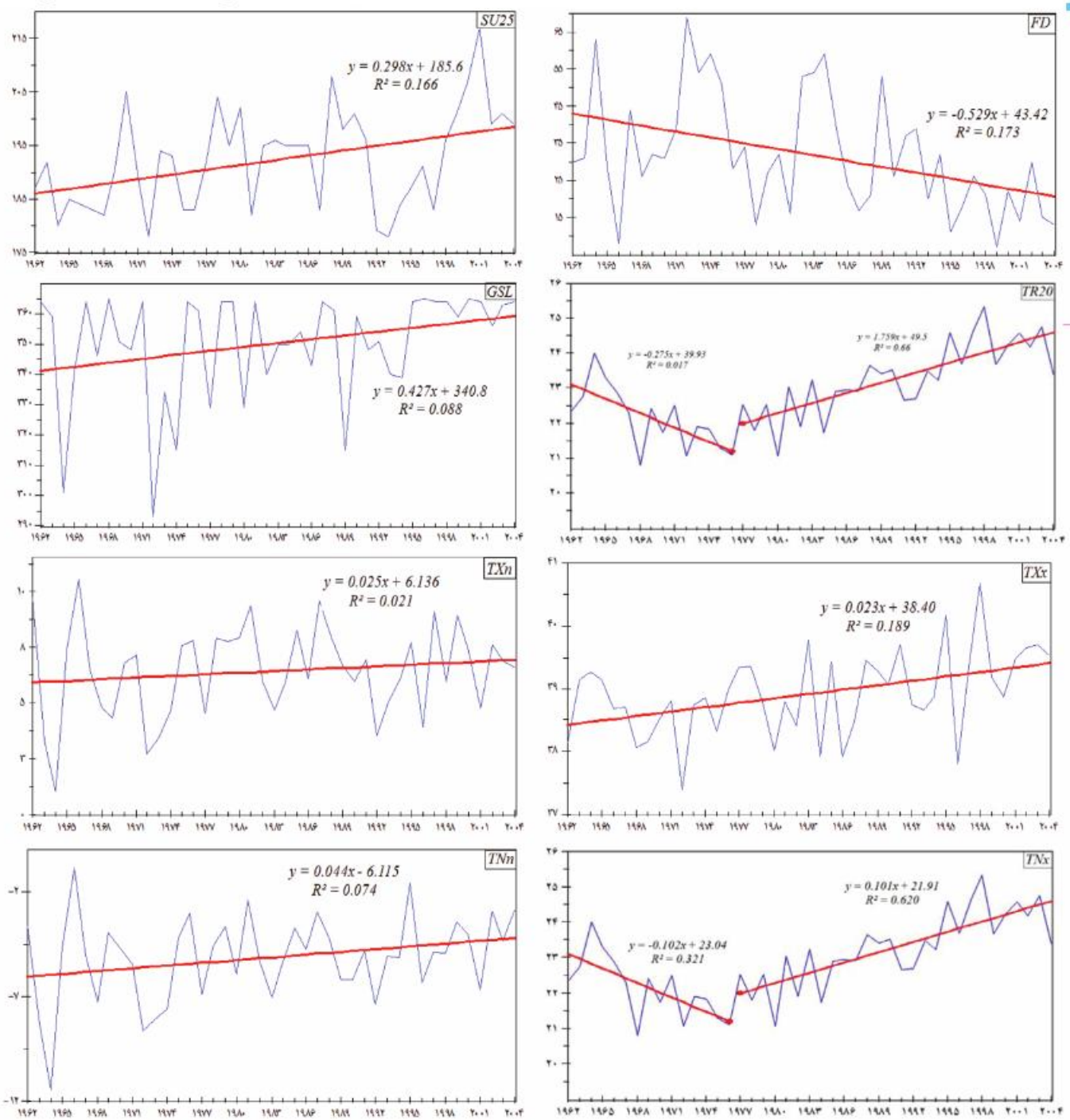
نمایه	تعریف	
RX1day	بیشترین مقدار بارش یک روزه (Maximum 1-day precip): بیشترین بارش یک روزه در ماه	
RX5day	بیشترین مقدار بارش پنج روزه (Maximum 5-day precip): بیشترین بارش پنج روز متوالی در ماه	
SDII	نمایه‌ی ساده‌ی شدت بارش روزانه(Simple daily intensity): از تقسیم مقدار کل بارش سالانه بر تعداد روزهای بارشی (دست کم یک میلی‌متر) سالانه بدست می‌آید. فرض کنید که RP_{wj} مقدار بارش روزانه در روزهای مرطوب (دست کم یک میلی‌متر) در دوره‌ی زام است. اگر W بیانگر تعداد روزهای مرطوب در دوره‌ی زام باشد، بنابراین میلی‌متر در روز	
R10	تعداد روزهای همراه با بارش سنگین(Heavy precipitation days): تعداد روزهایی که در سال بارش دست کم ۱۰ میلی‌متر باشد.	
R20	تعداد روزهای همراه با بارش ابر سنگین(Very heavy precipitation days): تعداد روزهایی که در سال بارش دست کم ۲۰ میلی‌متر باشد.	
R25	تعداد روزهای با بارش بیشتر از ۲۵ میلی‌متر(Extreme heavy precipitation days): تعداد روزهایی که در سال بارش دست کم ۲۵ میلی‌متر باشد.	
CDD	روزهای متوالی خشک(Consecutive dry days): بیشترین تعداد روزهای متوالی که بارش کمتر از یک میلی‌متر باشد.	
CWD	روزهای متوالی مرطوب(Consecutive wet days): بیشترین تعداد روزهای متوالی که بارش بیشتر از یک میلی‌متر باشد.	
R95p	روزهای خیلی مرطوب(Very wet days): مجموع مقدار بارش روزهایی از سال که مقدار بارش بیش از صدک ۹۵ دوره‌ی مینا (۱۹۷۱-۲۰۰۰) باشد. فرض کنید که RP_{wj} مقدار بارش روزانه در روزهای مرطوب (دست کم یک میلی‌متر) در دوره‌ی زام است و $RR_{wm}95$ صدک ۹۵ میلی‌متر بارش روزهای مرطوب در دوره‌ی مینا (۱۹۷۱-۲۰۰۰) است. اگر W بیانگر تعداد روزهای مرطوب در دوره‌ی مینا باشد، بنابراین روزهای خیلی مرطوب از رابطه‌ی زیر بدست می‌آید.	
R99p	$R95 p_j = \sum_{w=1}^W RR_{wj} \text{ where } RR_{wj} > RR_{wm}95$ روزهای بسیار مرطوب(Extremely wet days): مجموع مقدار بارش روزهایی از سال که مقدار بارش بیش از صدک ۹۹ دوره‌ی مینا (۱۹۷۱-۲۰۰۰) باشد. فرض کنید که RP_{wj} مقدار بارش روزانه در روزهای مرطوب (دست کم یک میلی‌متر) در دوره‌ی زام است و $RR_{wm}99$ صدک ۹۹ میلی‌متر بارش روزهای مرطوب در دوره‌ی مینا (۱۹۷۱-۲۰۰۰) است. اگر W بیانگر تعداد روزهای مرطوب در دوره‌ی مینا باشد، بنابراین روزهای بسیار مرطوب از رابطه‌ی زیر بدست می‌آید.	
PRCPTOT	مقدار کل بارش روزهای مرطوب سالانه(Annual total precipitation): مقدار کل بارش روزهای مرطوب (مقدار بارش دست کم از یک میلی‌متر بیشتر باشد) سالانه	

از سال ۱۹۶۲ تا ۱۹۷۶ بسامد رخداد این نمایه رو به کاهش بوده ولی به لحاظ آماری شبکه کاهشی آن در سطح اطمینان ۹۰ درصد معنادار نیست ولی از سال ۱۹۷۷ به بعد با شبکه بسیار زیادی بسامد رخداد تعداد شبکهای حاره‌ای ایران روند مثبت و معناداری را در سطح اطمینان ۹۹ درصد نشان می‌دهد. نرخ افزایشی این نمایه حدود ۱۷/۵ روز به ازای هر دهه است. طول دوره‌ی رشد(GSL) که یکی از نمایه‌های مؤثر برآورده بر روی کشاورزی است در ایران زمین طی دوره‌ی مورد پژوهش روبه افزایش است. بطور کلی به ازای هر دهه ۴/۳ روز افزایش یافته است. روند افزایشی این نمایه در سطح

به بیانی دیگر تعداد روزهایی که دمای بالاتر از ۲۵ درجه در ایران ثبت شده است بیشتر شده است. در سال ۲۰۰۱ بسامد این نمایه به ۲۱ روز رسیده است. شبکه افزایشی این نمایه به لحاظ آماری در سطح اطمینان ۹۵ درصد معنادار است و بطور کلی حدود ۳ روز طی هر دهه تعداد روزهای تابستانی افزایش یافته است و میزان انحراف معیار آن ۱ روز به ازای هر ده سال است. میانگین رخداد روزهای یخی(ID) ایران زمین صفر است و طی سال‌های مورد مطالعه روندی از خود نداده است. روند تعداد شبکهای حاره‌ای (TR۲۰) طی دوره‌ی مورد مطالعه دو دوره با روند کاملاً متفاوت را نشان می‌دهد.

تا ۱۹۷۶ اشبیب کاهشی بسیار تندی را تجربه کرده است که به لحاظ آماری معنادار است و نرخ روند کاهشی آن ۱ درجه‌ی سانتی‌گراد به ازای هر دهه است ولی روند این نمایه از سال ۱۹۷۸ به بعد بر عکس دوره‌ی قبلی روند این نمایه افزایشی است و نرخ روند افزایشی آن ۱ درجه‌ی سانتی‌گراد به ازای هر دهه است که به لحاظ آماری در سطح اطیبان ۹۹ درصد معنادار است و انحراف معیار نرخ روند افزایشی این نمایه بسیار اندک است. کوچکترین دمای کمینه (TNn) طی دوره‌ی مورد مطالعه روند افزایشی را نشان می‌دهد ولی نسبت به نمایه‌ی بزرگترین دمای کمینه نرخ روند کمتر است. نرخ روند

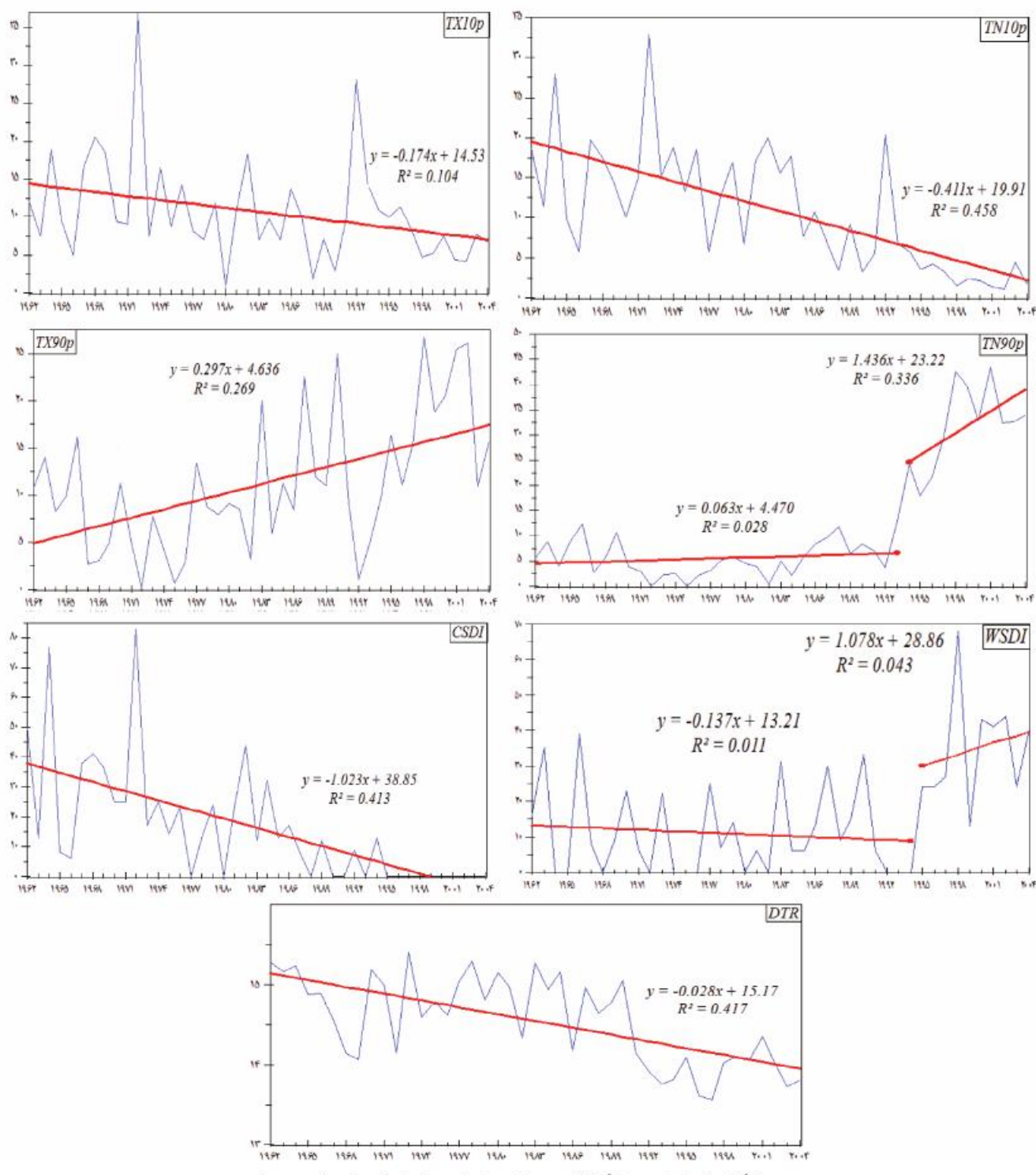
اطیبان ۹۵ درصد معنادار است. بزرگترین دمای بیشینه (TXx) در ایران زمین افزایش یافته است و شب افزایشی این نمایه به لحاظ آماری در سطح اطیبان ۹۹ درصد معنادار است. نرخ روند این نمایه ۰/۲۳ درجه‌ی سانتی‌گراد به ازای ده سال است و انحراف معیار نرخ روند بسیار اندک و ۰/۰۸ درجه‌ی سانتی‌گراد به ازای هر دهه است. کوچکترین دمای بیشینه (TXn) نیز همانند نمایه‌ی قبلی رویه افزایش است ولی به لحاظ آماری روند افزایشی این نمایه معنادار نیست. بزرگترین دمای کمینه (TNx) بر روی ایران زمین طی دوره‌ی مورد مطالعه دو روند کاملاً متفاوت را نشان می‌دهد. طی دوره‌ی ۱۹۶۲



شکل ۳ روند و نرخ روند نمایه‌های فرین دما بر روی ایران زمین طی دوره‌ی ۱۹۶۲ تا ۲۰۰۴

ولی نرخ کاهشی آن نسبت به شب‌های سرد کوچکتر است و برابر با $1/7$ روز به ازای هر دهه است. نرخ کاهشی شب‌های سرد بیش از 2 برابر نرخ کاهشی روزهای سرد است. شب‌های گرم (TN₉₀p) به ویژه در سال‌های اخیر بسامد رخداد بسیار بیشتری از خود نشان می‌دهند از سال ۱۹۶۲ تا سال ۱۹۹۳ بطرور میانگین بسامد رخداد این نمایه حدود 5 شب گرم است ولی از سال ۱۹۹۴ به بعد فراوانی رخداد این گونه شب‌ها با شب‌های بسیار زیادی رو به افزایش است. در

کوچکترین دمای کمینه $40/4$ درجهی سانتی‌گراد است و میزان انحراف معیار نرخ روند به نسبت بیشتر است. در سطح اطمینان 90 درصد شب کاهشی آن معنادار است و میزان آن برابر با $0/24$ به ازای ده سال است. روند شب‌های سرد (TN₁₀p) با نرخ روند $1/4$ شب به ازای هر دهه رو به کاهش است به بیانی دیگر بسامد رخداد شب‌های سرد رو به کاهش است و شب کاهشی آن به لحاظ آماری معنادار است. روزهای سرد (TX₁₀p) مطابق انتظار نیز کاهش یافته است



شکل ۴ ادامهی شکل ۳ و روند و نرخ روند نمایه‌های فرین دما

سطح اطمینان ۹۹ درصد شیب افزایشی آن معنادار است (جدول ۴). نمایه‌های بارش ابرسنگین (R₂₀) و (R₂₅) روند خاصی از خود نشان نمی‌دهند.

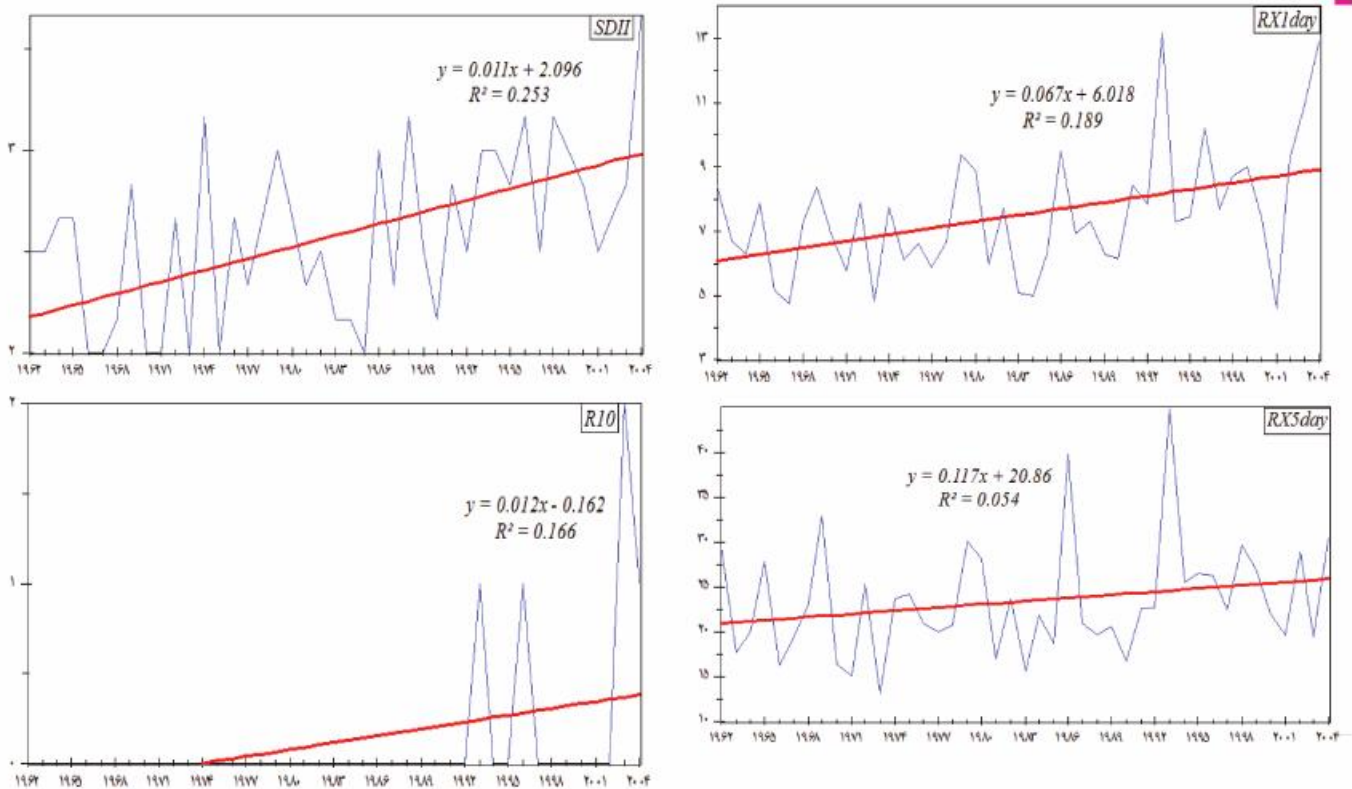
البته این مطلب بیانگر آن نیست که بر روی هیچ نقطه‌ای از ایران زمین روند وجود ندارد چه بسا ممکن است بر روی برخی مناطق تعداد روزهای همراه با بارش سنگین افزایش یافته باشد. ولی میانگین کلی بارش یک روزه که طی آن ایران زمین (۷۱۸۷ یا خته) دست کم ۲۰ و یا ۲۵ میلی متر دریافت کرده باشند روند از خود نشان نمی‌دهد. روزهای متوالی خشک (CDD) دو روند نسبتاً متفاوتی را طی دوره‌ی مورد مطالعه نشان می‌دهد. از سال ۱۹۶۲ تا ۱۹۸۳ روند این نمایه منفی شدید است که به لحاظ آماری نیز کاهش آن معنادار است. از سال ۱۹۸۴ تا ۲۰۰۴ روند همچنان منفی است ولی به لحاظ آماری معنادار نیست. روزهای متوالی مرطوب (CWD) دو روند کاملاً متفاوتی را طی مورد مطالعه نشان می‌دهد. از سال ۱۹۶۲ تا ۱۹۹۶ روند این نمایه مثبت است که در سطح اطمینان ۹۰ درصد افزایش بسامد رخداد آن معنادار است ولی از سال ۱۹۹۷ تا ۲۰۰۴ روند این نمایه منفی است که نرخ شیب آن حدود ۱/۵ روز در دهه است که به لحاظ آماری معنادار نیست.

جدول ۴ نرخ تغییرات، انحراف معیار شیب و نمایه‌های فرین دما

P-Value	نمایه	انحراف معیار شیب	شیب	نرم
۰/۰۰۵	FD	۲۰۰۵-۱۹۶۲	-۰/۰۵۲۹	۰/۱۸
۰/۰۰۷	SU25	۲۰۰۵-۱۹۶۲	۰/۰۲۹۹	۰/۱
	ID	۲۰۰۵-۱۹۶۲		
۰/۱۲۶	TR20	۱۹۷۶-۱۹۶۲	-۰/۰۲۷۵	۰/۰۴۳
۰/۰۰۱	GSL	۲۰۰۵-۱۹۷۷	۱/۷۰۹	۰/۰۲۷
۰/۰۰۵	TXx	۲۰۰۵-۱۹۶۲	۰/۰۴۲۸	۰/۰۲۱۴
۰/۰۰۴	TXn	۲۰۰۵-۱۹۶۲	۰/۰۰۲۳	۰/۰۰۰۸
۰/۹۴۴	TNx	۲۰۰۵-۱۹۶۲	۰/۰۰۲۵	۰/۰۰۲۶
۰/۰۲	TNn	۱۹۷۶-۱۹۶۲	-۰/۰۱۰	۰/۰۰۴
۰/۰۰۱	TN10p	۲۰۰۵-۱۹۷۷	۰/۰۱۰	۰/۰۰۱۶
۰/۰۷	TNn	۲۰۰۵-۱۹۶۲	۰/۰۰۴۴	۰/۰۰۲۴
۰/۰۰۱	TX10p	۲۰۰۵-۱۹۶۲	-۰/۰۰۱۱	۰/۰۰۰۷
۰/۰۳۴	TX10p	۲۰۰۵-۱۹۶۲	-۰/۰۱۷۵	۰/۰۰۰۸
۰/۳۵۳	TN90p	۱۹۹۳-۱۹۶۲	۰/۰۰۶۴	۰/۰۰۶۸
۰/۰۶	TX90p	۲۰۰۵-۱۹۹۴	۱/۰۴۳	۰/۰۷۷۲
۰/۰۰۱	WSDI	۲۰۰۵-۱۹۶۲	۰/۰۲۹۷	۰/۰۰۷۶
۰/۰۴	R10	۱۹۹۴-۱۹۶۲	-۰/۰۱۳۷	۰/۰۲۲۴
۰/۰۶	(R10)	۲۰۰۵-۱۹۹۰	۱/۰۰۸	۱/۰۷۹
۰/۰۰۱	CSDI	۲۰۰۵-۱۹۶۲	-۱/۰۰۲	۰/۰۱۹۱
۰/۰۰۱	DTR	۲۰۰۵-۱۹۶۲	-۰/۰۰۳	۰/۰۰۰۵

برخی از سال‌ها فراوانی آن به ۴۵ شب یعنی حدود ۹ برابر شده است. برای نمونه می‌توان به سال ۲۰۰۱ اشاره کرد. بطور میانگین حدود ۳ درجه‌ی سانتی‌گراد به ازای هر دهه بر شدت رخداد روزهای گرم (TX90p) ایران زمین افزوده شده است. نرخ افزایش شدت روزهای گرم به لحاظ آماری در سطح اطمینان ۹۹ درصد معنادار است و انحراف معیار نرخ روند افزایشی این نمایه ۰/۷۶ درجه‌ی سانتی‌گراد است. نمایه‌ی طول دوام امواج گرم (WSDI) طی دوره‌ی مورد مطالعه دو روند کاملاً متفاوتی از خود نشان می‌دهد. در دوره‌ی اول از سال ۱۹۶۲ تا ۱۹۹۴ روند منفی و از سال ۱۹۹۵ تا ۲۰۰۵ روند این نمایه مثبت است و نرخ روند برابر با ۱۰/۸ روز به ازای دهه است که همراه با تغییرات بسیار زیادی است. نکه قابل ذکر آن است که نرخ تغییرات این نمایه در هر دو دوره به لحاظ آماری معنادار نیست. برخلاف نمایه‌ی طول دوام امواج گرم، نمایه‌ی طول دوام مردم سرمه (CSDI) در ایران زمین شیب کاهشی و معناداری در سطح اطمینان ۹۹ درصد از خود نشان می‌دهد. به بیانی دیگر دوام امواج سرمه کاهش یافته است. نرخ کاهشی دوام امواج سرمه ۱۰/۲ روز به ازای هر ده سال است. میزان انحراف معیار نرخ روند این نمایه برابر با ۱/۹ روز به ازای ده سال است. نرخ دامنه‌ی دمای شباهنروزی (DTR) طی دوره‌ی مورد مطالعه روند کاهشی و معناداری را نشان می‌دهد. نرخ کاهشی این نمایه ۰/۳ درجه‌ی سانتی‌گراد به ازای هر دهه است که انحراف معیار اندکی دارد. به بیانی دیگر دمای شباهن و روزانه با گذشت زمان به یکدیگر نزدیک خواهد شد. با توجه به نتایج این پژوهش می‌توان گفت سهم افزایش دمای شباهن در نرخ کاهشی این نمایه بیشتر است چراکه شیب افزایش دمای شباهن و نمایه‌های سرد بیش از دو برابر نرخ افزایشی دمای روزانه و نمایه‌های گرم است.

نمایه‌های فرین بارش
روند نمایه‌های فرین بارش در شکل‌های ۵ و ۶ آمده است. بیشترین مقدار بارش یک روزه (RX1day) در ایران زمین روبه افزایش است. به بیانی دیگر شدت بارش‌ها با دوام یک روزه بیشتر شده‌اند. نرخ روند افزایشی این نمایه ۰/۷۷ میلی متر و انحراف معیار نرخ روند ۰/۲۲ میلی متر به ازای هر دهه است. در سطح اطمینان ۹۹ درصد روند افزایشی این نمایه معنادار است (جدول ۴). بیشترین مقدار بارش پنج روزه (RX5day) نیز روبه افزایش است و نرخ افزایشی این نمایه ۱/۱ میلی متر به ازای هر دهه است اما به لحاظ آماری معنادار نیست. نمایه‌ی شدت بارش روزانه (SDII) روند مثبت و معناداری از خود نشان می‌دهد. نرخ افزایشی این نمایه ۰/۱۱ میلی متر به ازای هر دهه یا ۱ میلی متر به ازای هر سده است. در سال ۲۰۰۴ شدت بارش روزانه به اوج شدت خود و حدود ۳/۷ میلی متر در روز رسیده است. تعداد روزهای همراه با بارش سنگین (R10) طی سالهای اخیر روبه افزایش است. به عبارتی دیگر بسامد رخداد بارش‌هاییک روزه‌ی ایران (میانگین ایران زمین) که دست کم ۱۰ میلی متر بوده باشد، افزایش یافته است و به لحاظ آماری در



شکل ۵ روند و نرخ روند نمایه‌های فرین بارش ایران زمین

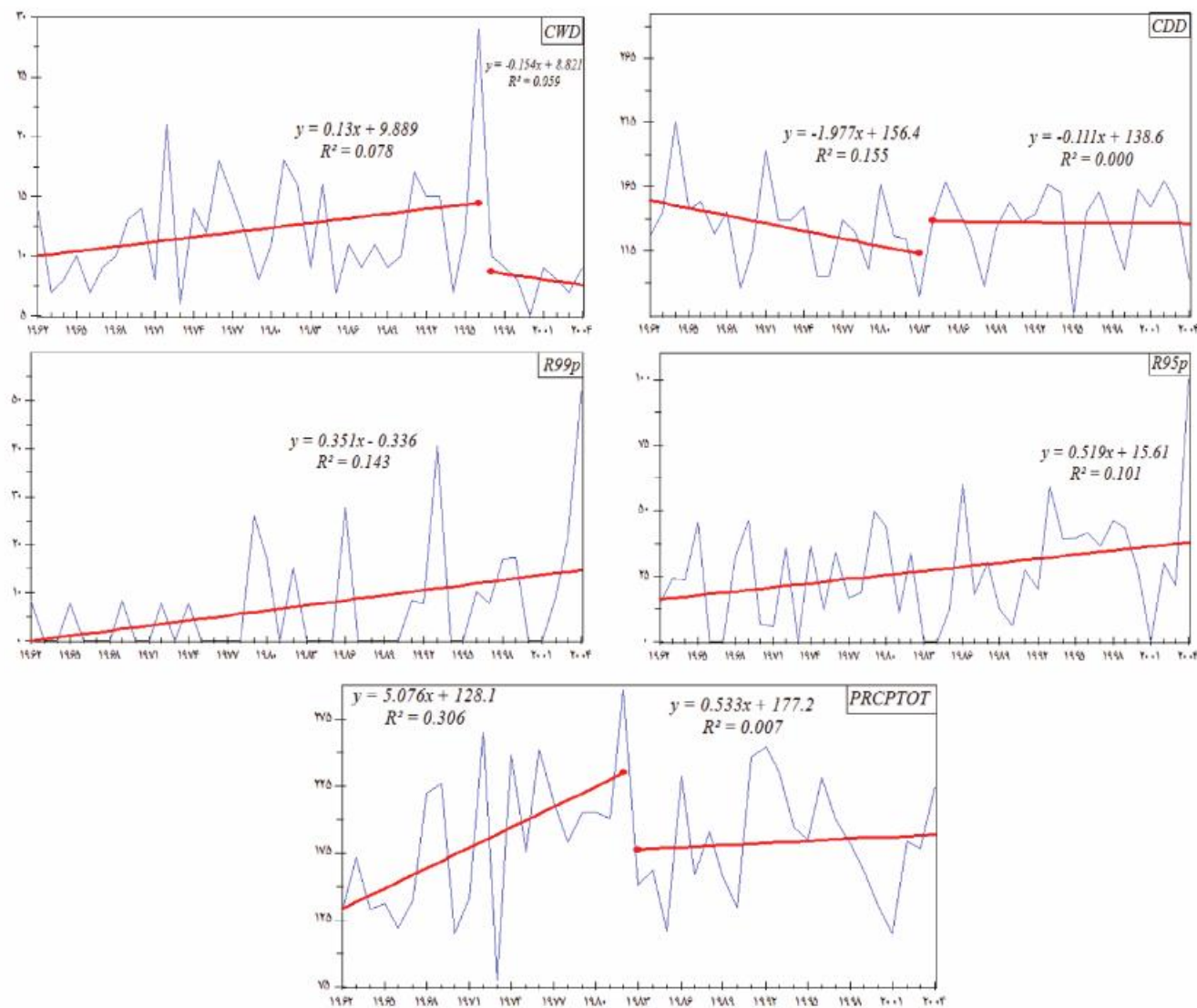
به کمک رگرسیون خطی انجام شد. از رویکرد رگرسیون مبنا، روش سولو(۱۹۸۷)، برای سری‌های زمانی که به لحاظ بصری دارای دو فاز و دوره‌ی مختلف بودند، استفاده شد. در سطح اطمینان ۹۰، ۹۵ و ۹۹ درصد معناداری شیب و نرخ تغییرات آنها مورد آزمون قرار گرفت. نتایج این پژوهش نشان داد که نمایه‌های فرین دما و بارش چه در قالب یک سری زمانی و چه در قالب دو دوره‌ی همراه با یک نقطه‌ی جهش روند معناداری را طی دوره‌ی مورد پژوهش تجربه کرده‌اند. نمایه‌های فرین گرم در ایران زمین طی دوره‌ی مورد مطالعه رویه افزایش است. برای نمونه روزهای تابستانی(SU۲۵)، روزهای گرم(TX۹۰p)، شب‌های گرم(TX۹۰p) و شب‌های حاره‌ای(TR۲۰) روند مثبت را از خود نشان می‌دهند و شیب افزایشی آنها به لحاظ آماری معناداری است. در حالیکه روند نمایه‌های فرین سرد از جمله روزهای یخ‌بندان(FD)، روزهای یخی(ID)، شب‌های سرد(TN۱۰p) و روزهای سرد(TX۱۰p) منفی است و رویه کاهش است. امواج گرمایی(WSDI) طولانی‌تر شده و بر عکس امواج سرد(CSDI) کوتاه‌تر شده‌اند. نرخ کاهشی دوام امواج سرما بیشتر از نرخ افزایشی دوام امواج گرم است. میزان کاهش دوام سرما در ایران زمین به ازای هر دهه ۱۰/۲ روز است. افزایش بیشتر دمای شبانه نسبت به دمای روزانه منجر به کاهش دامنه‌ی دمای شبانه‌روزی(DTR) در ایران زمین شده است. یافته‌های حاصل از برآشش روش سولو بر روی سری زمانی نمایه‌های فرین دما نشان داد که برخی نمایه‌ها (شب‌های حاره‌ای و بزرگترین دمای شبانه) طی اوایل دوره (۱۹۷۷) و برخی نمایه‌های دیگر طی سالهای اخیر (از سال ۱۹۹۴ و ۱۹۹۵

در روزهای خیلی مرطوب(R۹۵p) طی دوره‌ی مورد مطالعه روند مثبت و معناداری را نشان می‌دهد. افزایش این نمایه به لحاظ آماری در سطح اطمینان ۹۵ درصد معنادار است. نرخ شیب روند این نمایه ۵/۲ روز به ازای هر دهه است و میزان انحراف معیار نرخ روند نسبتاً زیاد و برابر با ۲/۴ روز به ازای هر ده سال است. روزهای بسیار مرطوب(R۹۹p) نیز در ایران زمین رویه افزایش است که به لحاظ آماری در سطح اطمینان ۹۹ درصد تغییرات آن معنادار است. نرخ شیب روند ۳/۵ روز به ازای هر دهه است که نسبت به روزهای خیلی مرطوب کوچکتر است و انحراف معیار آن برابر با ۱/۳ روز در ده سال است.

مقدار کل بارش روزهای مرطوب(PRCPTOT) طی دوره‌ی مورد مطالعه دو روند نسبتاً متفاوتی را نشان می‌دهد. از سال ۱۹۸۲ تا ۱۹۶۲ روند این نمایه مثبت است و نرخ شیب روند آن بسیار شدید و برابر با ۵۰/۷ میلی‌متر به ازای هر دهه است که به لحاظ آماری در سطح اطمینان ۹۹ درصد معنادار است. از سال ۱۹۸۳ تا ۲۰۰۴ روند این نمایه همچنان مثبت است ولی شیب آن به لحاظ آماری معنادار نیست.

بحث و نتیجه گیری

هدف این پژوهش شناسایی تغییر اقلیم در ایران زمین به کمک نمایه‌های پیشنهاد شده‌ی تیم متخصصین شناسایی تغییر اقلیم و نمایه‌ها بود. برای ۲۷ نمایه‌ی بارش و دما به کمک داده‌های یاخته‌ای روزانه در ابعاد 10×10 کیلومتر میانگین پهنه‌ای ایران زمین محاسبه شد. روند هر کدام از نمایه‌های طی دوره‌ی ایران زمین ۱۹۶۲ تا اواخر سال ۲۰۰۴



شکل ۶ ادامهی شکل ۵ روند و نرخ روند نمایه‌های فرین بارش ایران زمین

روی سری زمانی نمایه‌های بارش ایران، از سال ۱۹۸۳ به بعد نرخ کل بارش دریافتی و بسامد روزهای متراکی خشک و از سال ۱۹۹۷ به بعد روزهای متراکی تر دچار تغییر شده‌اند. برپایه‌ی مقادیر سری زمانی نمایه‌های فرین مورد واکاوی طی بازه‌ی زمانی مورد مطالعه به نظر می‌رسد روش سولو برای شناسایی نقاط تغییر در سری‌های زمانی که فازهای مختلف را تجربه کرده‌اند، بسیار سودمند و مفید استچرا که این روش با تشخیص دقیق نقاط جهش، دوره‌های قبل و بعد جهش با رفتار متفاوت در نوع روند یا نرخ روند را بخوبی شناسایی می‌کند.

برپایه‌یافته‌ها و نظرات کارشناسی هیأت بین دول تغییر اقلیم (IPCC) تغییر معنادار در سنجه‌های مهم جوی (دما، بارش یا باد) دست‌کم برای یک دهه باید پیابی و دوام داشته باشد تا از آن تحت عنوان تغییر اقلیم یاد کرد. همانطور که یاد شد روند تغییرات اغلب نمایه‌های فرین دما و بارش طی دوره‌ی مورد واکاوی معنادار هستند. در برخی از نمایه‌های بارش و دما نرخ افزایشی و کاهشی

به بعد) بر شدت و بسامد آنها افزوده شده است. همچنین نتایج این پژوهش نشان داد که بسامد رخداد بارش‌های فرین روبه افزایش است. به بیانی دیگر بارش‌های شدید و سنگین برویه طی سالهای اخیر بیشتر مشاهده می‌شوند.

نکته قابل توجه آن است که میزان بارش کل ایران زمین طی سالهای اخیر تغییرات معناداری نداشته است ولی سهم مقدار بارش ناشی از رخداد بارش‌های سنگین افزایش یافته است. به لحاظ میزان دریافتی بارش (حدود ۲۵۰ میلی متر در سال) ایران کشوری کم‌بارش به حساب می‌آید و متمرکز شدن رخداد بارش و دریافت بارش طی چند روز از سال منجر به رخداد سیلاب‌های بزرگ، فرسایش شدید، پرشدن سریع ذخایر سدها توسط آبرفت‌ها، خسارات کشاورزی و اقتصادی فراوان خواهد شد. علاوه بر افزایش رخداد بارش‌های سیل آسا و سنگین، گرم شدن و افزایش دما منجر به افزایش تبخیر و تغییر نوع بارش جامد به بارش مایع، ذوب سریع ذخایر و منابع برف و غیره خواهد شد. برپایه‌ی نتایج حاصل از برآش روش سولو بر

**جدول ۴ نرخ تغییرات، انحراف معیار شبب و
نمایه‌های فرین بارش**

P-Value	انحراف معیار	شبب	نمایه
.0004	.0022	.0077	2005-1972 RX1day
.0132	.0077	.0118	2005-1972 RX5day
.0001	.0003	.0011	2005-1972 SDII
.0007	.0004	.0012	2005-1972 R10
			2005-1972 R20
			2005-1972 R25
.007	1/03	-1/98	1982-1972 CDD*
.0921	1/1	-0/112	2005-1984
.01	.008	.013	1996-1972 CWD*
.056	.0201	-0/100	2005-1997
.004	.0242	.0019	2005-1972 R95p
.001	.0124	.0301	2005-1972 R99p
.0009	1/75	5/07	1982-1972 PRCPTOT
.071	1/41	.0034	2005-1982

6- Azizi, Gh. Shamsipour, A.A. and Yarahmadi, D. 2007. Detection climate change in semi western part of country by multivariate statistical analysis. Physical Geography Research Quarterly. 66: 19-35. (In Persian)

7- Azizi, Gh. and Roshani, M. 2008. The study of climate change in south coastal of Caspian Sea by Mann-Kendal method. Physical Geography Research Quarterly. 64: 13-28. (In Persian)

8- Babaeian, E. Najafi Nick, Z. ZabolAbbasi, F. Habibi Nokhandan, M. Adab, H. and Malbosi, Sh. 2009. Investigation of climate change in Iran during 2010-2039 by downscaling of global atmospheric circulation ECHO-G, Geography and development. 16: 135-152. (In Persian)

9- Chavas, D.R. Izaurrealde, R.C. Thomson, A.M. and Gao, X. 2009. Long-term climate change impacts on agricultural productivity in eastern China. Agricultural and Forest Meteorology. 149:1118–1128.

10- Cutforth, H.W. Woodwin, B.G., Mc Cokey, R.J. Smith, D.G. Jefferson, P.G. and Akinremy, O.O. 1999. Climate Change in the semiarid prairie of southwestern Saskatchewan: Late winter-early spring. Can. J. Plant. Sci. 79: 343-353.

11- Darand, M., Masoodian, A., Nazaripour, H., and

از اوایل دوره مورد واکاوی ۱۹۶۲ تا اواخر دوره (۲۰۰۴) مشاهده می شود ولی برخی نمایه های دیگر برویزه فرین های دما طی سالهای اوایل دوره ۱۹۷۷ و اواخر دوره ۱۹۹۴ و ۱۹۹۵ دچار جهش معنادار شده اند. اگر چه دوره مورد واکاوی این پژوهش بازه‌ی زمانی ۱۹۶۲-۲۰۰۴ است، ولی به نظر می رسد که طی سالهای همانگ با نتایج حاصل از این پژوهش است. فراوانی و شدت نمایه های فرین گرم و بارش های سنگین افزایش یافته و نمایه های فرین سرد کاهش یافته است. با این اوصاف به نظر می رسد که اقلیم ایران زمین به سمت اقلیم بیابانی سمت و سر پیدا خواهد کرد.

بطور کلی اگرچه در این پژوهش، پنهانی ایران زمین به عنوان یک واحد مطالعاتی مورد واکاوی قرار گرفت و رویکرد مورد نظر متفاوت با پژوهش های دیگر بود، نتایج بدست آمده، یافته های سایر پژوهشگران از جمله، عسکری و همکاران (۱۳۸۶)، رحیم زاده و همکاران (۱۳۸۸)، ورشاویان و همکاران (۱۳۹۰)، الکساندر و همکاران (۱۳۹۰)، قهرمان (۲۰۰۶)، مسعودیان و دارند (۱۳۹۲) و دارند و همکاران (۱۳۹۲) را تأیید می کند.

منابع

1-Abrahimi, H. Alizadeh, A. and Javanmard, S. 2005. Investigation of temperature change in Mashhad plain as the index of climate change in region, Geographical research. 4: 5-18. (In Persian)

2-Alexander, L.V. Zhang, X. Peterson, T.C. Caesar, J. Gleason, B. Klein Tank, AMG. Haylock, M. Collins, D. Trewin, B. Rahimzadeh, F. Tagipour, A. Rupa Kumar, K. Revadekar, J. Griffiths, G. Vincent, L. Stephenson, D.B. Burn, J. Aguilar, E. Brunet, M. Taylor, M. New, M. Zhai, P. Rusticucci, M. and Vazquez-Aguirre, JL .2006. Global observed changes in daily climate extremes of temperature and precipitation. J Geophys Res Atmos 111(D05109):1–22.

3- Alizadeh, A. and Kamali, Kh. 2002. The impact of climate change on the increase consumption of water in agriculture on the Mashhad plain. Geographical research. 65-66: 189-201. (In Persian)

4- Asakereh, H. 2011. The fundamental of statistical climatology. University of Zanjan Press. 545p. (In Persian)

5- Asgari, A. Rahimzadeh, F. Mohammadian, N. and Fatahi, E. 2005. Trend Analysis of extreme precipitation indices over Iran. Iran-Water Resources Research. 3: 42-55. (In Persian)

- N. 2009. investigation of climate change in Oromieh during half past century , journal of water and soil conservation. 4: 141-151. (In Persian)
- 21- Lund, R. and J. Reeves. 2002. Detection of Undocumented Changepoints: A Revision of the Two-Phase Regression Model, *J. Climate*, 15, 2547-2554.
- 22- Masoodian, A., and Darand, M. 2013. Recognition and Analysis of extreme precipitation indices over Iran during recent decades, *Journal of geography and regional development*, 20: 239-257. (In Persian)
- 23- Payne, J.T., Wood, A.W., Hamlet, A.F., Palmer, R.N. and Lettenmaier, D.P. 2002. Mitigating the effects of climate change on the water resources of the Columbia River basin. Joint Institute for the Study of the Atmosphere and Ocean (JISAO) under NOAA cooperative agreement No.NA17RJ1232 Contribution 922.
- 24- Rahimzadeh, F., Asgari, A., Fatahi, A and Mohammadian, N. 2009. *Geographic researches*, 93: 120-140. (In Persian)
- 25- Rodionov, S.N., 2005. A brief overview of the regime shift detection methods. In: Large-Scale Disturbances (Regime Shifts) and Recovery in Aquatic Ecosystems: Challenges for Management Toward Sustainability, V. Velikova and N. Chipev (Eds.), UNESCO-ROSTE/BAS Workshop on Regime Shifts, 14-16 June 2005, Varna, Bulgaria, 17-24.
- 26- Rodriguez Diaz J.A. Weather head J.W., Knox E. Camacho. 2007. Climate change impacts on irrigation water requirements in the Guadalquivir river basin in Spain. *Reg Environ Change*. 7:149–159.
- 27- Varshavian, V., Khalili, A., Ghahreman, N and Hojjam, S . 2011. Trend analysis of minimum, maximum, and mean daily temperature extremes in several climatic regions of Iran. *Journal of Earth and Space physic*, 1: 169-179.
- 28- Solow, A. R. 1987. Testing for climate change: an application of the two-phase regression model, *J. Clim. Appl. Meteorol.*, 26, 1401.
- Mansouri Daneshvar, M.R. 2015. Spatial and temporal trend analysis of temperature extremes based on Iranian climatic database (1962–2004). *Arab J Geosci.* DOI 10.1007/s12517-015-1840-5. (In Persian)
- 12- Easterling, D.R. and Peterson, T.C. 1995. A new method for detecting undocumented discontinuities in climatological time series. *Int. J. Climatol.* 15: 369-377.
- 13- Elsner, J. B. Jagger, T. and Niu, X. F. 2000. Changes in the rates of North Atlantic major hurricane activity during the 20th century. *Geophys. Res. Lett.* 27:1743-1746.
- 14- Ferrise R., Moriondo M., and Bindi M. 2009. Climate change and projected impacts in agriculture: an example on Mediterranean Crops. *Geophysical Research Abstracts*. Vol(11)EGU2009-7229.
- 15- Frich, P., L. V. Alexander, P. Della-Marta, B. Gleason, M. Haylock, A. M. G. Klein Tank, and T. Peterson (2002), Observed coherent changes in climatic extremes during the second half of the twentieth century, *Clim. Res.*, 19, 193–212.
- 16- Ghahraman, B., 2006, Time trend in the mean annual temperature of Iran. *Turk. J. Agric. For.*, 30, 439–448.
- 17- Ghorbanizadeh Kharazi, H., Sadeghi, H., Saghian, B. and Porhemmat, J. 2009. The investigation of climate change impacts on the temporal distribution of runoff flow result from snow melt in Karon Basin. *Iranian Journal of Watershed Management Science and Engineering*. 9: 45-50.
- 18- Gunn Persson, L., Graham, P., and Andereasson, J. 2005. Impact of climate change effects on sea level rise in combination with an altered river flow in the Lake Malar Region, Swedish Meteorological and Hydrological Institute, SE 601 76 Norrkoping, Sweden.
- 19- IPCC, 2007. *Climate Change 2007: The Physical Science Basis. Contribution of I to the Fourth Assessment Report of the Intergovernmental Panel on Climate Change*. Cambridge University Press, Cambridge, United Kingdom and New York, NY, USA, p. 996.
- 20- Khalili Aghdam, N., Mosaedi, A. and Latifi,